

تحديد درجة القرابة الوراثية لطرز من عشب السعد الأرجواني (*Cyperus rotundus* L.) في سوريا

محمد عدنان أحمد، غسان إبراهيم* وعبد النبي بشير

قسم وقاية النبات، كلية الهندسة الزراعية، جامعة دمشق، سورية.

*البريد الإلكتروني للباحث المراسل: weeddam@yahoo.com

الملخص

أحمد، محمد عدنان، غسان إبراهيم وعبد النبي بشير. 2025. تحديد درجة القرابة الوراثية لطرز من عشب السعد الأرجواني (*Cyperus rotundus* L.). *مجلة وقاية النبات العربية*, 43(4): 561-569. <https://doi.org/10.22268/AJPP-001355>

هدف هذا البحث إلى تحديد درجة القرابة الوراثية بين 17 طرزاً من السعد باستخدام تقنية ISSR (النكرارات البسيطة الترادفية الداخلية) المعتمدة على التفاعل التسليلي للبوليمراز (PCR). استخدم لهذا الغرض 17 بادئة، أثبتت 15 منها فعاليتها في إعطاء تعددية شكلية بين الطرز المدروسة، ونجم عن استخدامها ما مجموعه 62 حزمة، وبلغ أقل عدد للحزم (2 حزمة) مع البادئة ISSR5 و 6 حزم كأعلى عدد مع البادئة ISSR2. بلغت نسبة التعددية الشكلية 94.77%. كما وجد أن أعلى قيمة لمصفوفة النسب المئوية للتواافق PDV بلغت 0.9886 بين الطرازين (كلية الهندسة الزراعية، جامعة دمشق، صافيتا) مما يدل على وجود تباين وراثي كبير بينها، في حين بلغت أقل قيمة لـ PDV 0.2348 بين الطرازين (شها والمزرعة من محافظة السويداء) مما يشير على أنهما على درجة كبيرة من القرابة الوراثية. اندخلت شجرة القرابة الوراثية إلى تحت عنقودين رئيسيين، حيث ضم العنقود الأول الطرز المجموعة من المنطقة الجنوبية (كلية الهندسة الزراعية، دمشق)، شها والمزرعة في محافظة السويداء وهما على درجة عالية من القرابة الوراثية، ودرعا وخان أربنـة (محافظة القنيطرة). بينما ضم العنقود الثاني تحت عنقودين، حيث ضم تحت العنقود الأول الطرز الوراثية لمحافظة اللاذقية وطرطوس في حين ضم تحت العنقود الثاني الطرز المجموعة من المنطقة الوسطى (مدينة حماة، ووادي العيون قي محافظة حماة) وتلكلخ وفالح من محافظة حمص، أي أن الطرز المدروسة لنبات السعد قد تجمعت في عناقيد حسب توزيعها الجغرافي.

كلمات مفتاحية: السعد الأرجواني، *Cyperus rotundus*، القرابة الوراثية، ISSR، سوريا.

المقدمة

فردين محددين. لقد تطورت المؤشرات الجزيئية بشكل كبير وتعدّدت أنواعها والمبدأ الذي تعتمد عليه وكذلك استخداماتها وتطبيقاتها (Paterson *et al.*, 1991).

إن البيانات التي تكشف باستخدام المعلمات الجزيئية هي ناتجة عن اختلافات في التركيب النيكليوتيدى لجزئية الحمض النووي الريبي منقوص الأوكسجين DNA وليس عن تأثر بالظروف البيئية، ولا تتأثر نتائجها بعمر ونوع النسيج النباتي المستخدم في الدراسة، وبالتالي من الممكن إجراء الدراسة الجزيئية في أي طور من أطوار النمو، وسرعة الحصول على النتائج ودقتها، والقدرة على كشف نسبة أكبر من البيانات الوراثية، وتعطية كافة مناطق مجبن (Genome) النبات. كذلك يمكن استخدام المؤشرات الجزيئية بشكل فاعل في تحاليل التنوع الوراثي وتقدير التشابه الوراثي (Powell *et al.*, 1997; Sankar *et al.*, 2013; Stich *et al.*, 2010). كما أنها تختصر الزمن إضافة إلى خفضها لتكليف المادية (سيد، 2001).

ينتمي عشب السعد إلى الفصيلة السعدية (Cyperaceae) ورتبة القبيئيات (Cyperales)، وهو من أكثر أنواع النباتات غير المزروعة التي تم بحثها على نطاق واسع. إن الاعتماد على الصفات الشكلية لدراسة التنوع النباتي غير كاف، وبشكل خاص عند وجود تقارب كبير بين النباتات المدروسة (Chowdhury *et al.*, 2002). تعد البيانات الشكلية من المعايير الأولى التي استخدمت في عملية التصنيف والتصنيف ودراسة البيانات ما بين وضمن الأنواع المختلفة، إلا أنه في الآونة الأخيرة وفي ظل التطور المتسارع في علم التقانات الحيوية، اكتشفت معايير ومؤشرات أكثر دقة يمكنها تحقيق هذا الهدف وتطويره، وأهمها دراسة التنوع الوراثي باستخدام المعلمات الجزيئية التي تستند على معلومات مأخوذة من جزيئية الحمض النووي الريبي منقوص الأوكسجين DNA والتي تسمح بالتمييز ما بين

ذلك أن نتائجها ثابتة عند تكرارها، وهي سريعة، كما أنها تتطلب كمية قليلة من الحمض النووي DNA، ويمكن ميكنتها، حيث يمكن تبادل البادئات بسهولة بين المختبرات بمجرد معرفة سلسلتها النيكلويوتيدية، وتكشف نسب متوسطة من التعددية الشكلية (Polymorphism).

قام Long *et al.* (2022) بدراسة التنوع الوراثي باستخدام تقنية التكرارات الترافقية البسيطة الداخلية (ISSR) المعتمدة على PCR لتقدير العلاقة الوراثية بين 24 مجموعة من السعد الأرجواني التي تم جمعها من مناطق مختلفة في الصين، حيث استخدم واحداً وعشرين بادئاً من بادئات ISSR وتم الحصول على 167 حزمة. بلغت النسبة المئوية للتعددية الشكلية 97%， مما يشير إلى مستوى عالٍ من التنوع الوراثي. وانفصلت شجرة القرابة الوراثية حسب الموقع الجغرافي.

تأتي أهمية هذا البحث من خلال تحديد القرابة الوراثية بين مجتمعات نبات السعد تبعاً للمنطقة، مما قد يساعد في تطبيق برامج المكافحة المتكاملة ومدى استجابة العشب لطرائق المكافحة المختلفة وخصوصاً لدراسة مدى الترابط بين مقاومة العشب لمبيدات الأعشاب والطراز البيئي. وتعُد هذه الدراسة الجزيئية الأولى على هذا النبات في سورية. لذلك هدف هذا البحث إلى تحديد درجة القرابة الوراثية بين 17 طرزاً من السعد باستخدام تقنية التكرارات الترافقية البسيطة (ISSR).

مواد البحث وطرقه

المادة النباتية وجمع العينات

تم جمع عينات نبات السعد من مناطق مختلفة من محافظات سورية من خلال القيام بالعديد من الجولات الحقلية لجمع النبات من مواقع ومحافظات مختلفة (جدول 1). وأجري العمل في مختبر التقانات الحيوية في مركز بحوث ودراسات المكافحة الحيوية - كلية الهندسة الزراعية في جامعة دمشق خلال العام 2023.

تعقيم الدرنات

تم تعقيم الدرنات قبل زراعتها للحصول على الحمض النووي منقوص الأوكسجين (DNA) النقي من أجل الدراسة الوراثية، حيث نقصت درنات كل طراز من الطرز المدروسة في مادة الإيتانول تركيز 70% لمدة 30 ثانية، ثم نُقلت إلى ثلاثة كؤوس على التوالي يحيى كل منها ماء مقطر معقم، وتركت في كل كأس لمدة 5 دقائق، ومن ثم نُقلت بعدها للبisher الذي يليه، بعدها نُقلت ووضعت في دورق يحيى مادة كلورووكس 5% وتركت لمدة 5 دقائق، ثم نُقلت لتنقع في الماء المقطر ثلاث مرات لمدة 5 دقائق في كل مرة، وتركت لتجف من أجل استخلاص الحمض النووي منقوص الأوكسجين DNA.

تعتمد تقنيات المعلمات الجزيئية على التفاعل التسلسلي للبوليميراز (PCR)، حيث يقوم هذا التفاعل بمضاعفة قطع محددة من الحمض النووي الريبي منقوص الأوكسجين وذلك باستخدام بادئات عشوائية أو متخصصة مصممة لهذا الهدف، مما يسمح بالحصول على ملايين النسخ المضاعفة من قطعة واحدة من الحمض النووي الريبي منقوص الأوكسجين (Weising & Gardner, 1999).

طور التفاعل التسلسلي للبوليميراز من قبل Saiki *et al.* (1985) الذي كان له أثراً مهماً على صعيد الدراسات الوراثية الجزيئية، ويقوم هذا التفاعل بمضاعفة قطع محددة من الحمض النووي (DNA) باستخدام بادئات عشوائية مثل تقنية RAPD، أو متخصصة مثل تقنية SSR مصممة لهذا الهدف، أو متخصصة، مما يسمح بالحصول على ملايين النسخ المضاعفة من قطعة واحدة من الحمض النووي الريبي (DNA) التي تتضاعف أسيّاً، وذلك باستخدام دورات حرارية متعددة (Sied, 2001 ؛ Ayad *et al.*, 1997 ؛ Karp *et al.*, 1997). تعد تقنية Inter simple sequence repeats- ISSR (Zietkiewicz *et al.*, 1994) واحدة من التقانات المهمة المعتمدة على التفاعل التسلسلي للبوليميراز للأسباب التالية: تضم منطقة التكرارات الترافقية البسيطة وستستخدم بادئاً وحيداً مؤلفاً من نيكليوتيدات متكررة ومحاطاً في بعض الأحيان بـ 4-2 نيكليوتيدات إما في المنطقة '3' أو '5' وعادةً ما يضم 25-50 منتجاً في التفاعل الواحد. كما توصف تقنية ISSR بأنها أكثر تكرارية من تقنية RAPD بسبب طول البادئ المستخدم والذي يعكس درجة حرارة عالية لمرحلة تشغيل البادئات (Chowdhury *et al.*, 2002)، وإمكانية الكشف عن التحاليل النيكليوتيدية ذات السيادة في التوريث ووفرتها في مجينات حقيقيات النوى النباتية، ولا تحتاج إلى معلومات عن التسلسل المجيني المدروس (Tautz & Renz, 1984؛ Senthilvel *et al.*, 2008).

إن الفائدة الرئيسية لهذه التقنية هي أنها لا تتطلب وقتاً طويلاً لبناء المكتبة الوراثية، وعلى الرغم من حقيقة أن ISSR تورث كمعلومات سائدة وأحياناً غير سائدة، إلا أنها معلمات ذات طبيعة عشوائية، فهي مناسبة بشكلٍ خاص لدراسات علم الوراثة العرقى وتقدير التنوع الوراثي وتحديد الأصناف (Cavan *et al.*, 2000؛ Korbin *et al.*, 2002؛ Nagaraju *et al.*, 2002). إن بساطة معلمات ISSR تزيد من إمكانية استعمالها في الوسم المجيني (Ammiraju *et al.*, 2001). توصف تقنية ISSR بأنها أكثر تكرارية من تقنية RAPD، بسبب طول البادئ المستعمل، الذي يعكس درجة حرارة مرتفعة لمرحلة تشغيل البادئات (Bornet & Branchard, 2001؛ Chowdhury *et al.*, 2002)، كما تتميز بوفرتها ووجودها في مجينات حقيقيات النوى النباتية، ولا تحتاج إلى معلومات عن التسلسل المجيني المدروس (Tautz & Renz, 1984). أضف إلى

إضافة ($1\mu\text{L}$) من إنزيم RNase (10 مغ/مل) وحفظت العينات عند درجة حرارة -20°C لحين الاستخدام.

التقدير الكمي والنوعي للـ DNA بواسطة الأشعة فوق البنفسجية

استخدم جهاز Power Wave XTM (UV- Spectrophotometer) (BIO-TEK Instruments, Inc.) لتقدير كمية الحمض النووي النبوي (DNA) وتحديد نقاوته، عن طريق حساب النسبة بين قراءة الموجة 260 نانومتر والموجة 280 نانومتر (OD 260/OD 280). تم التقدير النوعي على هلامة الأغاروز تركيزها 0.8% لتحديد نوعية الحمض النووي DNA المستخلصة للتأكد من عدم تقطيعها، ثم مُدّدت عينات الحمض النووي DNA للحصول على تركيز 40 نانوغرام/ميكروليتر لاستخدام في التفاعل التسلسلي للبوليميراز.

تطبيق تقنية التكرارات الترافقية البسيطة الداخلية (ISSR)

ضمّن الحمض النووي DNA باستعمال 20 بادئات تقنية (ISSR) المستخدمة في الدراسة، حصل عليها من شركة Eurofins 2X PCR Master mix Genomics (جدول 2)، كما استعملت لتقابل الـ PCR حيث أجري التفاعل التسلسلي للبوليميراز (PCR) وفقاً لطريقة Lawyer *et al.* (1993) مع بعض التعديلات. أجريت عملية التضخيم لهذا التفاعل وفق البرنامج الحراري التالي: دورة واحدة بدرجة حرارة 94°C مدة 5 دقائق ثم 40 دورة للمراحل الآتية: الانفصال عند حرارة 94°C لمدة 30 ثانية ثم الاتحام لمدة 30 ثانية وفق حرارة التحام الموضحة في الجدول 2 ثم الاستطالة لمدة 30 ثانية عند حرارة 72°C ، ثم تركت العينات مدة 10 دقائق على حرارة 72°C لإتمام التفاعل وحفظت العينات عند درجة حرارة -20°C لفصل الحزم بعدها بالرحلان الكهربائي على هلامة الأغاروز.

الترحيل الكهربائي والتلوين والتصوير

رُحل الحمض النووي التلوي منقوص الأوكسجين (DNA) على هلامة الأغاروز 0.8% لمعرفة نوعيته، وعلى هلامة الأغاروز 6% لدراسة تقنية ISSR في محلول المنظم TBE والمضاف إليها 5 ميكروليتر من صبغة الإيشيديوم برومادي (10 ميكروغرام/ميكروليتر)، ليتم بعد ذلك الترحيل بممرور حقل كهربائي قدره 100 فولط، لفصل حزم الـ DNA الناتجة عن عملية التضخيم، وصُورت الهلامة بجهاز تصوير هلامة الأغاروز (Agie Eye II staratagene) Image Analyzer (Serwer,) (1983).

جدول 1. العينة النباتية ومنطقة الجمع لطرز السعد الأرجواني المدروسة.

Table 1. Plant sample and collection area for the studied purple Saad plant. ecotypes.

Ecotype No.	Collection area	Governorate	المحافظة	رقم الطراز	
				اللاذقية	جبلة
1	Jableh	Latakia	جامعة اللاذقية	كلية الهندسة الزراعية	2
	Latakia University			Faculty of Agricultural Engineering	
3	Drakeesh	Tartous	طرطوس	الدربيكش	
4	Safita	Tartous	طرطوس	صافيتا	
5	Cadmus	Tartous	طرطوس	القاموس	
6	Safsafa	Tartous	طرطوس	الصفصافة	
7	Baniyas	Tartous	طرطوس	بانياس	
8	Sheikh Badr	Tartous	طرطوس	الشيخ بدر	
9	Hama city	Hama	حماء	مدينة حماه	
10	Wadi Al-Oyoun	Hama	حماء	وادي العيون	
11	Talkalakh	Homs	حمص	تلكلخ	
12	Fahel	Homs	حمص	فالحل	
13	Almazraea	Suwayda	السويداء	المزرعة	
14	Shahba	Suwayda	السويداء	شهبا	
15	كلية الهندسة الزراعية	Damascus University	جامعة دمشق	جامعة دمشق	
	Faculty of Agricultural Engineering				
16	Daraa	Daraa	درعا	درعا	
17	Khan Arnabeh	Kenitra	القنيطرة	خان أرنبه	

عزل الحمض النووي منقوص الأوكسجين DNA بطريقة SDS

عزل الحمض النووي منقوص الأوكسجين DNA وفقاً لطريقة Rogers & Bendich (1989) مع بعض التعديلات، كما يلي: تم طحن 1 غ من الدرنات بوجود الأزوت السائل ونقلت بعدها إلى أنابيب أبندروف سعة 2 مل وأضيف لها 1 مل من محلول الاستخلاص (SDS) Sodium dodecyl sulphate، وأضيف بعد ذلك 1 مل من مزيج كل من كلوروفورم وأيزواميل كحول، وتنقل المزيج مدة 10 دقائق بسرعة 10000 دورة في الدقيقة. وأخذت الطبقة العليا والتي تمثل الوسط المائي الذي يحتوي الأحماض النووية، والتي عملت مع Iso-propanol لترسيب الأحماض النووية، ومن ثم التثقيف مرة ثانية من أجل الحصول على DNA، وأذيبت عينات الحمض النووي (DNA) في ($50\mu\text{L}$) من محلول المنظم TE، وتم استبعاد الحمض النووي (RNA)

حيث (P_{ij}) تكرارية الحزم α الناتجة عن استخدام البادئ β في جميع العينات المدروسة.

النتائج والمناقشة

التجددية الشكلية الناتجة عن تقنية ISSR في طرز السعد المدروسة استخلص الحمض النووي منقوص الأوكسجين (DNA) من كورمات السعد وقيس تركيزه ونقاوته بجهاز المطياف الضوئي. حيث تراوحت التراكيز بين 0.26 و 0.45 ميكروغرام/ميكروليتر وكانت نقاوة العينات بين 1.8 - 2.01، ومدد تركيز الحمض النووي DNA ليصبح 40 ميكروغرام/ميكروليتر، وطبقت عملية الرحلان الكهربائي على هلامة الأغاروز بتراكيز 0.8% لمعرفة نوعية الحمض النووي DNA المستخدم إذ يظهر الحمض النووي DNA ذو النوعية الجيدة على شكل حزمة.

التجددية الشكلية الناتجة عن تطبيق تقانة ISSR

تضمنت الدراسة اختبار الطرز الوراثية المدروسة باستخدام 17 بادئة، وبين الجدول (3) أن 15 بادئة أعطت منتجات تصخيم في تفاعل البلمرة المتسلسل، في حين لم تعط البادئتان ISSR15، ISSR16 أي نتائج تصخيم لغياب الموضع المكمل لسلسلات تلك البادئات، ونجم عن استخدام هذه البادئات ما مجموعه 62 حزمة، وتراوح عدد الحزم الكلية لكل بادئ ما بين 2 حزمة كأقل عدد مع البادئ (ISSR5) و 6 حزمة كأعلى عدد مع البادئ (ISSR2)، أي أن هذه البادئة قد غطت جزء كبير من مجبن (جينوم) السعد بمتوسط 4.13 حزمة، كما بلغ عدد الحزم المتعددة شكلاً 59 حزمة بمتوسط 3.39 حزمة، وتراوح عدد الحزم المتباينة شكلاً لكل بادئ بين 2 حزمة كأقل عدد مع البادئ (ISSR5) و 6 حزمة كأعلى عدد مع البادئ (ISSR2)، وببلغت نسبة التجددية الشكلية الكلية 94.77%， حيث كانت الأقل مع البادئة (ISSR10) بمقدار 66.66% تلاه مع البادئتين (ISSR7 - ISSR37) بمقدار 75-80% على التوالي، أما باقي البادئات التي أعطت منتجات تصخيم في تفاعل PCR فقد أعطت نسبة تعددية شكلية بلغت 100%. وبالنسبة لقيم معامل التجددية الشكلية (PIC) فقد تراوحت ما بين (0.011) كأقل قيمة مع البادئ (ISSR6) و 0.49 كأعلى قيمة مع البادئ (ISSR1) بمتوسط 0.362، حيث حسب معامل التجددية الشكلية (PIC) لكل بادئة على حده، وكلما اقتربت قيمة PIC من (1) كانت المقدرة على تمييز البيانات الوراثية وإظهارها أكبر، ويمكن أن يعطي PIC قيمة (0) عندما تُظهر البادئة حزمة وحيدة ثابتة عند العينات كلها، لذلك يمكن عد هذه البادئة غير ذات أهمية في تمييز الطرز الوراثية عن بعضها، حيث أنها لم تُظهر أي تعددية شكلية (جدول 3). ويمثل شكل 1 النماذج التي تم الحصول عليها من حزم DNA.

جدول 2. التسلسل النيكلويوتيدي للبادئات المختبرة في تقنية ISSR ودرجة حرارة الالتحام (°س).

Table 2: Nucleotide sequences of the primers tested in the ISSR technique and the docking temperature (°C).

حرارة الالتحام (°س) Annealing temperature (°C)	التسلسل النيكلويوتيدي 3' - 5' Nucleotide sequences 5'- 3'	البادئة primer
50	CACACACACACACACAA	ISSR1
50	ACACACACACACACACT	ISSR2
50	AGAGAGAGAGAGAGGT	ISSR3
56	CGTCACACACACACACAC	ISSR5
56	CAGCACACACACACACAC	ISSR6
56	CAGCTCTCTCTCTCTCTC	ISSR7
50	GTGTGTGTGTGTGTGTT	ISSR8
54	CTCTCTCTCTCTCTCTCT	ISSR9
52	GAGAGAGAGAGAGAGAT	ISSR10
52	CACACACACACAACAG	ISSR11
52	TCTCTCTCTCTCTCTCC	ISSR12
52	TGTGTGTGTGTGTGAA	ISSR13
52	ACACACACACACACACG	ISSR15
56	GGTCACACACACACACAC	ISSR16
52	CACACACACACAACAG	ISSR35
52	TGTGTGTGTGTGTGTTGG	ISSR37
52	ACACACACACACACACTT	ISSR40

التحليل الإحصائي

طبقت البرامج الإحصائية الخاصة بالتقانات الحيوية المستخدمة لإجراء الدراسة الوراثية لتحليل النتائج، حيث جمعت نتائج عملية الترحيل الكهربائي في جداول متخصصة اعتماداً على مقارنة وجود أو غياب حزم الحمض الريبي النووي DNA بين النباتات، حيث يعطى الرقم (1) عند وجود حزمة DNA ذات وزن جزيئي محدد عند أي طراز والرقم (0) عند غيابها، ويتضمن ذلك الحزم الواضحة فقط، ونظمت الجداول لكل بادئة على حده (Zhong *et al.*, 2009). وحددت درجة القرابة الوراثية، ورسمت شجرة القرابة الوراثية (Dendrogram) بين طرز السعد المدروسة بتطبيق طريقة التحليل العنقيودي (Cluster analysis)، باستخدام برنامج Ntysys الإحصائي، حيث يسمح التحليل العنقيودي بتقسيم الطرز المدروسة إلى مجموعات تعكس درجة القرابة الوراثية فيما بينها، فمن الممكن أن تتحجع العينات ضمن مجموعة واحدة بناء على موطنها الأصلي، أو بناء على أصلها ونسبها، ولهذا تُشكل مصفوفة النسب المئوية لعدم التوافق (Percent Disagreement Values). يدل ارتفاع قيمة هذه المصفوفة على وجود اختلاف وراثي، وبازديادها يزداد التباين الوراثي بين العينات المدروسة (Nei, 1978)، وحسبت قيمة معامل التجددية الشكلية (Polymorphism Information Content) للبادئات المستخدمة حسب

(2019) Srivastava *et al.* وفق المعادلة:

$$PIC = 1 - \sum (P_{ij})^2$$

جدول 3. رموز البادئات المستعملة وعدد الحزم الكلية والمتباعدة شكلياً، النسبة المئوية للتعددية الشكلية، وقيم معامل التعددية الشكلية PIC في الطرز المدروسة من نبات السعد.

Table 3. Symbols of the primers used, the number of total and morphologically distinct bands, the level of polymorphism, and the PIC values in the studied biotypes of purple nutsedge.

البادئات Primers	عدد الحزم الكلية Number of total bands	عدد الحزم المتباعدة شكلياً The number of morphologically distinct bands	النسبة المئوية للتعددية الشكلية % Polymorphism rate (%)	محتوى التعددية الشكلية Polymorphism content (PIC)
ISSR1	5	5	100.00	0.49
ISSR2	6	6	100.00	0.47
ISSR3	3	3	100.00	0.18
ISSR5	2	2	100.00	0.15
ISSR6	3	3	100.00	0.11
ISSR7	5	4	80.00	0.47
ISSR8	4	4	100.00	0.47
ISSR9	5	5	100.00	0.45
ISSR10	3	2	66.66	0.47
ISSR11	4	4	100.00	0.21
ISSR12	5	5	100.00	0.42
ISSR13	5	5	100.00	0.48
ISSR 35	4	4	100.00	0.39
ISSR37	4	3	75.00	0.33
ISSR40	4	4	100.00	0.32
ISSR15	-	-	-	-
ISSR16	-	-	-	-
Total المجموع	62	59	-	5.44
Mean المتوسط	4.13	3.93	94.77	0.362



شكل 1. صورة هلام الأغاروز 2% لملاحظة التعددية الشكلية الناتجة عن استخدام البادئة (ISSR 2) في جميع الطرز المدروسة من نبات السعد، M يمثل المؤشر الجزيئي لتحديد أطوال حزم الحمض النووي DNA. حيث 1= جبلة، 2= كلية الهندسة الزراعية، جامعة اللاذقية، 3= الدريكيش، 4= صافيتا، 5= القدموس، 6= الصفاصفة، 7= بانياس، 8= الشيخ بدر، 9= مدينة حماة، 10= وادي العيون، 11= تلكلخ، 12= شهبا، 13= كلية الهندسة الزراعية، جامعة دمشق، 14= فاحل، 15= درعا، 16= المزرعة، 17= خان أربنـة.

Figure 1. Image of a 2% agarose gel to observe the polymorphism resulting from the use of the prefix (ISSR 2) in all studied models of the Saad plant. M represents the molecular ladder to determine the size of DNA bands. Where 1= Jableh, 2= Faculty of Agricultural Engineering, Latakia University, 3= Al-Dreikish, 4= Safita, 5= Al-Qadmous, 6= Al-Safsafo, 7= Baniyas, 8= Sheikh Badr, 9= Hama City, 10= Wadi Al-Oyoun, 11= Talkalakh, 12= Shahba, 13= Faculty of Agricultural Engineering, Damascus University, 14= Fahel, 15= Daraa, 16= Al-Mazraa, 17= Khan Arnabeh.

دمشق)، (شهبا- المزرعة محافظة السويداء) وهمما على درجة عالية من القرابة الوراثية؛ ودرعا و Khan Arneba (محافظة القنيطرة)؛ بينما ضمّ الثاني تحت عنقودين، حيث ضمّ تحت العنقود الأول الطرز الوراثية من محافظة اللاذقية وطرطوس في حين ضمّ تحت العنقود الثاني الطرز المجموعة من المنطقة الوسطى (مدينة حماة- وادي العيون محافظة حماة) و (تلكلخ- فاحل من محافظة حمص). حيث توافت نتائجنا مع Long et al., 2022.

نستنتج مما سبق أن تقنية ISSR أظهرت فعاليةً في التمييز بين طرز السعد المدروسة، فقد استطاعت 15 بادئاً من بادئات ISSR تضخيم 62 حزمة بنسبة تعددية شكلية بلغت 94.77%， وكان متوسط قيم معامل التعددية الشكلية 0.362. كما افضلت شجرة القرابة الوراثية إلى عنقودين، ضمّ العنقود الأول الطرز المجموعة من المناطق الساحلية والوسطى، وضمّ العنقود الثاني الطرز الوراثية المجموعة من المنطقة الجنوبية أي توزعت الطرز المدروسة من نبات السعد حسب التوزع الجغرافي. لوحظت أعلى درجة قرابة وراثية بين الطرازين الوراثيين شهبا والمزرعة من محافظة السويداء. كذلك لوحظ أن أعلى قيمة لمصفوفة النسب المئوية عدم التوافق PDV كانت بين الطرازين كلية الهندسة الزراعية -جامعة دمشق وصافيتا مما يدل على وجود تباعد بينهما، في حين كانت أقل قيمة لـ PDV بين الطراز شهبا والطراز المزرعة مما يدل على وجود تقارب وراثي بينهما.

جدول 4. مصفوفة النسب المئوية لعدم التوافق (PDV) بين الطرز المدروسة والناتجة عن تطبيق متوازنات المجموعات الزوجية غير المزانة UPGMA بتطبيق تقنية ISSR.

Table 4. Matrix of the percentages of mismatch (PDV) between the studied biotypes resulting from unbalanced pairwise group averages (UPGMA) and by applying the ISSR technique.

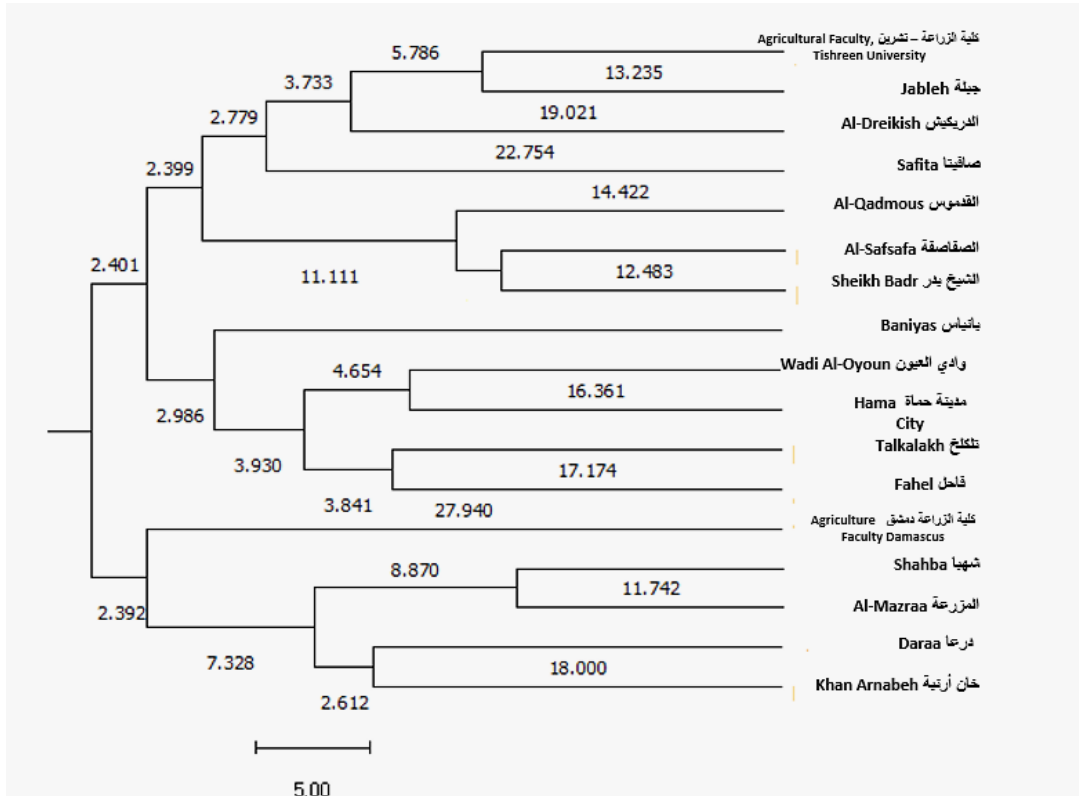
17	16	15	14	13	12	11	10	9	8	7	6	5	4	3	2	1	*****	1
																	*****	0.3272 2
																	*****	0.2498 0.2497 3
																	*****	0.4113 0.4654 0.5031 4
																	*****	0.4654 0.6477 0.3600 0.4290 5
																	*****	0.2955 0.2647 0.6042 0.4290 0.5031 6
																	*****	0.3939 0.4290 0.5423 0.5625 0.5423 0.6702 0.6257 7
																	*****	0.5423 0.6257 0.4290 0.9280 0.8434 0.6702 0.6257 0.5423 8
																	*****	0.5225 0.4842 0.4841 0.4470 0.5225 0.6702 0.4841 0.5225 9
																	*****	0.4113 0.5831 0.3600 0.6257 0.4654 0.7167 0.6042 0.6257 0.5423 10
																	*****	0.3435 0.4290 0.5624 0.5625 0.6931 0.6042 0.6477 0.4654 0.4841 0.6042 11
																	*****	0.5031 0.8434 0.5423 0.6931 0.6931 0.4841 0.5225 0.4470 0.4654 0.4841 0.5625 12
																	*****	0.6477 0.7908 0.7167 0.5225 0.5831 0.9280 0.8708 0.8168 0.9886 0.7908 0.7655 0.7167 13
																	*****	0.4654 0.3768 0.5625 0.5423 0.4470 0.7655 0.7655 0.5031 0.6257 0.5831 0.6477 0.6258 0.6257 14
																	*****	0.360 0.4290 0.3768 0.4841 0.6257 0.4113 0.6702 0.7167 0.6257 0.5031 0.7655 0.5625 0.5032 0.5031 15
																	*****	0.4113 0.4841 0.6931 0.2348 0.6702 0.7908 0.5031 0.8434 0.5625 0.4113 0.4470 0.4113 0.6257 0.5625 0.6477 16
																	*****	0.5031 0.6042 0.3435 0.6477 0.5031 0.3939 0.4470 0.3272 0.6042 0.5225 0.4841 0.3435 0.5225 0.5423 0.6042 0.6042 17

1= جبلة، 2= كلية الهندسة الزراعية، جامعة اللاذقية، 3= الدريكيش، 4= صافيتا، 5= القدموس، 6= المصيافاة، 7= بانياس، 8= الشيخ بدر، 9= مدينة حماة، 10= وادي العيون، 11= تلكلخ، 12= شهبا، 13= كلية الهندسة الزراعية، جامعة دمشق، 14= فاحل، 15= درعا، 16= المزرعة، 17= خان أربنة.

1= Jableh, 2= Faculty of Agricultural Engineering, Latakia University, 3= Al-Dreikish, 4= Safita, 5= Al-Qadmous, 6= Al-Safsafa, 7= Baniyas, 8= Sheikh Badr, 9= Hama City, 10= Wadi Al-Oyoun, 11= Talkalakh, 12= Shahba, 13= Faculty of Agricultural Engineering, Damascus University, 14= Fahel, 15= Daraa, 16= Al-Mazraa, 17= Khan Arnabeh.

تحديد درجة القرابة الوراثية بين الطرز المدروسة من نبات السعد
تمت دراسة العلاقة الوراثية (درجة القرابة الوراثية) بين الطرز المدروسة من نبات السعد بتطبيق مصفوفة النسب المئوية لعدم التوافق (PDV)، حيث يدل ارتفاع قيمة هذه المصفوفة على وجود تباعد وراثي ويتناقضها ترداد القرابة الوراثية بين الطرز المدروسة، ويتم إنشاء هذه المصفوفة وفقاً لعدد وحدات التضاعف المشتركة بينها، نلاحظ من خلال الجدول 4، أن أقل قيمة لـ (PDV) هي 0.2348 بين الطرازين (شهبا والمزرعة من محافظة السويداء) وهذا يدل على أنهما على درجة كبيرة من القرابة الوراثية، بينما كانت أعلى قيمة لها 0.9886 بين الطرازين (كلية الهندسة الزراعية جامعة دمشق- صافيتا) مما يدل على وجود تباعد وراثي كبير بينها.

التحليل العنقودي للطرز الوراثية المدروسة من نبات السعد
يسمح التحليل العنقودي بتقسيم الطرز المدروسة إلى مجموعات، تبعاً لدرجة القرابة الوراثية فيما بينها، وقد تجمع العينات ضمن مجموعة واحدة بناءً على موطنها الأصلي، أو بناءً على أصلها ونسبة.
أجري التحليل العنقودي للنتائج التي تم الحصول عليها بهدف إنشاء شجرة القرابة الوراثية (Dendrogram) لتحديد درجة القرابة الوراثية، ويلاحظ من الشكل 2 أن الطرز المدروسة قد توزعت في عنقودين رئيسيين، ضمّ الأول الطرز المجموعة من المنطقة الجنوبية (كلية الهندسة الزراعية -



شكل 2. التحليل العنقيدي للطرز المدروسة من نبات السعد الناتج عن استخدام تقنية ISSR.

Figure 2. Cluster analysis of the studied biotypes of purple nutsedge resulting from the use of the ISSR technique.

Abstract

Ahmad, M.A., A.M. Basheer and G.S. Ibrahim. 2025. Determining the Genetic Relationship of the Purple Nutsedge, *Cyperus rotundus* L. Ecotypes in Syria. Arab journal of Plant Protection, 43(4):561-569.
<https://doi.org/10.22268/AJPP-001355>

This study was carried out in 2023 to determine the degree of genetic relationship between 17 ecotypes of purple nutsedge using ISSR (Inter simple sequence repeats) technology based on the polymerase chain reaction (PCR). For this purpose, 17 Primers were used, 15 of which proved effective in showing polymorphism between the studied ecotypes. Their use resulted in a total of 62 bands, and the lowest number of bands was 2 bands with the primer ISSR5 and 6 bands as the highest number with the primer ISSR2, and the polymorphism rate reached 94.77%. It was also found that the highest PDV value of the PDV matrix of concordance was 0.9886 between the two ecotypes (Faculty of Agricultural Engineering, Damascus University and Safita), which indicated the presence of large genetic variation between them, whereas the lowest PDV value was 0.2348 between the two ecotypes Shahba and Al-Mazraa from Suwayda Governorate, suggesting that they have a high degree of genetic relationship. The Dendrogram tree was split into two main clusters, the first cluster included the types collected from the southern region (College of Agricultural Engineering, Damascus, Shahba Al-Mazraa, Suwayda Governorate), and they have a high degree of genetic relatedness, and the second included the types collected from Daraa and Khan Arnaba (Quneitra Governorate). The second cluster was divided to two subclusters, the first subcluster included the genotypes from Latakia and Tartous governorates, whereas the second subcluster included the genotypes collected from the central region (Hama city and Wadi Al-Uyun, Hama governorate) and Talkalakh - Fahel from Homs governorate. The studied ecotypes of purple nutsedge were gathered in clusters based on their geographical distribution.

Keywords: Purple nutsedge, *Cyperus rotundus*, genetic relationship, ISSR, Syria.

Affiliation of authors: M.A. Ahmad, A.M. Basheer* and G.S. Ibrahim. Department of Plant Protection, Faculty of Agricultural Engineering, Damascus University, Syria. *Email address of the corresponding author: weeddam@yahoo.com

References

المراجع

- V.S. Gupta and P.K. Ranjekar. 2001. Identification of inter simple sequence repeat (ISSR) markers associated with seed size in wheat. Theoretical and Applied Genetics, 102:726-732.
<https://doi.org/10.1007/s001220051703>
- Ayad, W.G., T. Hodgkin, A. Jaradat and V.R. Rao. 1997. Molecular Genetic Techniques for Plant Genetic Resources. IPGRI, Rome. Italy. 137 pp.
- سيد، محمود هيتم. 2001. استخدام مؤشرات من الدنا في انتخاب مورثات المقاومة للأمراض في الشعير. أطروحة دكتوراه، كلية الزراعة، جامعة دمشق، سوريا.
- [Sayed, M.H. 2001. Using DNA indicators to select disease resistance genes in barley, Damascus University, Faculty of Agriculture, Ph.D. thesis. (In Arabic)].
- Ammiraju, J.S.S., B.B. Dholakia, D.K.H. Santra, M.D. Lagu, S.A. Tamhankar, H.S. Dhaliwal, V.S. Rao,

- Rafalski, J.A., J.M. Vogel, M. Morgante, W. Powell, C. Andre and S.V. Tingey.** 1996. Generating and Using DNA Markers in Plants. Pp. 75-134. In: Nonmammalian Genomic Analysis. B. Birren and E. Lai (eds.), Academic Press. San Diego, USA.
- Rogers, S.O. and A.J. Bendich.** 1989. Extraction of DNA from plant tissues. Pp. 73-83 In: Plant Molecular Biology Manual. S.B. Gelvin, R.A. Schilperoort and D.P.S. Verma (eds.), Springer, Dordrecht, The Netherlands.
<https://doi.org/10.1007/978-94-009-0951-9>
- Saiki, R.K., S. Scharf, F. Falloona, K.B. Mullis, G.T. Horn, H.A. Erlich and N. Arnheim.** 1985. Enzymatic amplification of beta-globin genomic sequences and restriction site analysis for diagnosis of sickle cell anemia. Science, 230(4732):1350-1354.
<https://doi.org/10.1126/science.2999980>
- Sankar, S.M., C.T. Satyavathi, M. Singh, C. Bharadwaj, S.P. Singh, and S. Barthakur.** 2013. Genetic Variability and Association Studies in Pearl Millet for Grain Yield and High Temperature Stress Tolerance. Indian Journal of Dryland Agricultural Research and Development, 28:71-76.
- Senthilvel, S., B.f. Jayashree, V. Mahalakshmi, P.S. Kumar, S. Nakka, T. Nepolean and C. Hash.** 2008. Development and mapping of simple sequence repeat markers for pearl millet from data mining of expressed sequence tags. BMC Plant Biology, 27(8):119.
<https://doi.org/10.1186/1471-2229-8-119>
- Serwer, P.** 1983. Agarose gels: Properties and use for electrophoresis. Electrophoresis, 4(6):375-382.
<https://doi.org/10.1002elps.1150040602>
- Srivastava, R., R.B.S. Kushwah, V. Lakshmi, S. Bollam, M. Pusuluri, T. Tara and R. Gupta.** 2019. Genome-wide association studies (GWAS) and genomic selection (GS) in pearl millet: advances and prospects. Frontiers in Genetics, 10:1389.
<https://doi.org/10.3389/fgene.2019.01389>
- Stich, B., B.I. Haussmann, R. Pasam, S. Bhosale, C.T. Hash, A.E. Melchinger and H.K. Parzies.** 2010. Patterns of molecular and phenotypic diversity in Pearl Millet [*Pennisetum glaucum* (L.) R. Br.] from west and central Africa and their relation to geographical and environmental parameters. BMC Plant Biology, 10(1):1-10.
<https://doi.org/10.1186/1471-2229-10-216>
- Tautz, D. and M. Renz.** 1984. Simple sequences are ubiquitous repetitive components of eukaryotic genomes. Nucleic Acids Research, 12(10):4127-4138.
<https://doi.org/10.1093/nar/12.10.4127>
- Weising, K. and R.C. Gardner.** 1999. A set of conserved PCR primers for the analysis of simple sequence repeat polymorphisms in chloroplast genomes of dicotyledonous angiosperms. Genome, 42(1):9-19.
<https://doi.org/10.1139/g98-104>
- Wolfe, A.D., Q.Y. Xiang and S.R. Kephart.** 1998. Assessing hybridization in natural populations of Penstemon (Scrophulariaceae) using hypervariable inter simple sequence repeat markers. Molecular Ecology, 7(9):1107-1125.
<https://doi.org/10.1046/j.1365-294x.1998.00425.x>
- Bornet, B. and M. Branchard.** 2001. Non-anchored inter simple sequence repeat (ISSR) markers: reproducible and specific tools for genome finger printing. Plant Molecular Biology Research, 19:209-215.
<https://doi.org/10.1007/BF02772892>
- Cavan, G., V. Potier and S.R. Moss.** 2000. Genetic diversity of weeds growing in continuous wheat. Weed Research, 40(3):301-310.
<https://doi.org/10.1046/j.1365-3180.2000.00189.x>
- Chowdhury, M.A., B. Vandenberg, and T. Warkentin.** 2002. Cultivar identification and genetic among selected breeding lines and cultivars in Chickpea (*Cicer arietinum* L.). Euphytica, 127:317-325.
<https://doi.org/10.1023/A:1020366819075>
- Karp, A., S. Kresovich, K.V. Bhat, W.G. Ayad and T. Hodgkin.** 1997. Molecular tools in plant genetic resources conservation: a guide to the technologies. IPGRI Technical Bulletin, 2:9-21.
- Korbin, M., Kuras, A. and E. Żurawicz.** 2002. Fruit plant germplasm characterization using molecular markers generated in RAPD and ISSR-PCR. Cellular Molecular Biology Letters, 7(2B):785-794.
- Lawyer, F.C., S. Stoffel, R.K. Saiki, S.Y. Chang, P.A. Landre, R.D. Abramson and D.H. Gelfand.** 1993. High level expression, purification, and enzymatic characterization of full-length *Thermus aquaticus* DNA polymerase and a truncated form deficient in 5' to 3'exonuclease activity. Genome Research, 2(4):275-287.
<https://doi.org/10.1101/gr.2.4.275>
- Long, D., G. Xingxiang, C. Qu, S. Bai, C. Shi, X. Jiang, X. Li, Q. Ju and M. Qu.** 2022. Identification of purple nutsedge (*Cyperus rotundus* L.) ecotypes and the effect of environmental factors on tuber sprouting in China. Weed Research, 62(5):360-371.
<https://doi.org/10.1111/wre.12551>
- Maniatis, T., E.F. Fritsch and J.K. Sambrook.** 1982. Molecular Cloning: A Laboratory Manual. Cold Spring Harbor Laboratory, Cold Spring Harbor. New York. 2028pp.
- Nagaraju, J., M. Kathirvel, R. Ramesh Kumar, E.A. Siddiq and S.E. Hasnain.** 2002. Genetic analysis of traditional and evolved Basmati and non-Basmati rice varieties by using fluorescence-based ISSR-PCR and SSR markers. Proceedings of the National Academy of Science (U.S.A.), 99(9):5836-5841.
<https://doi.org/10.1073/pnas.042099099>
- Nei, S.M.** 1978. Estimation of average heterozygosity and genetic distance from a small number of individuals. Genetics 89(3):583-590.
<https://doi.org/10.1093/genetics/89.3.583>
- Paterson, A.H., Tanksley, S.D. and M.E. Sorrells.** 1991. DNA markers in plant improvement. Advances in Agronomy, 46:39-90.
[https://doi.org/10.1016/S0065-2113\(08\)60578-7](https://doi.org/10.1016/S0065-2113(08)60578-7)
- Powell, W., W.T.B. Thomas, E. Baird, P. Lawrence, A. Booth, B. Harrower and R. Waugh.** 1997. Analysis of quantitative traits in barley by the use of Amplified Fragment Length Polymorphisms. Heredity, 79(1):48-59.
<https://doi.org/10.1038/hdy.1997.122>

Zietkiewicz, E., J. Rafalski and D. Labuda. 1994. Genome fingerprinting by simple sequence repeat (SSR)-anchored polymerase chain reaction amplification. *Genomics*, 20(2):176-183.
<https://doi.org/10.1006/geno.1994.1151>

Zhong, C.Y., A.C. Cheng, M.S. Wang, D.K. Zhu, Q.H. Luo, C.D. Zhong and Z. Duan. 2009. Antibiotic susceptibility of *Riemerella anatipestifer* field isolates. *Avian diseases*, 53(4):601-607.
<https://doi.org/10.1637/8552-120408-resnote.1>

Received: April 28, 2024; Accepted: August 15, 2024

تاریخ الاستلام: 2024/4/28؛ تاریخ الموافقة على النشر: 2024/8/15